



234932



汽車車身与車架的研究

I.O. A. 陀耳馬托夫斯基, K. B. 捷凡恩格等著

姜文俊 陈兆雄譯
黃天澤校



人民交通出版社

汽車車身与車架的研究

Ю.А.陀耳馬托夫斯基， K.B.捷凡恩格等著

姜文俊 陈兆雄 譯

董天澤 校

人民交通出版社

車身與車架研究

本書系譯自蘇聯機器工業出版社出版的“汽車車身與車架的研究”一書，計有二篇文章；並將“汽車和拖拉機工業”雜誌1955年第10期中所刊“載重汽車車架的扭轉計算”一文一併譯出作為附錄同時發表。

本書對於輕便汽車的流線型、車架模型的試驗及車架的扭轉計算進行了研究分析，可供我國汽車製造、設計及修理部門的學習與參考。

汽車車身與車架的研究

выпуск 68

ИССЛЕДОВАНИЕ КУЗОВОВ И РАМ АВТОМОБИЛЕЙ



ГОСУДАРСТВЕННОЕ НАУЧНО-ТЕХНИЧЕСКОЕ ИЗДАТЕЛЬСТВО
МАШИНОСТРОИТЕЛЬНОЙ ЛИТЕРАТУРЫ
Москва 1950

本書根據蘇聯機器製造工業出版社1950年莫斯科俄文版本譯出

華文俊、陳兆雄譯 黃天澤校

人民交通出版社出版

(北京安定門外和平里)

北京市書刊出版業營業許可證出字第〇〇六零

新華書店發行

人民交通出版社印刷廠印刷

1950年1月北京第一版 1950年1月北京第一次印刷

開本：787×1092毫米 印張：2.5張

全書：71000字 印數：1—4700冊

統一書號：15044·4212

定价（10）：0.40元

目 錄

1. 現代輕便汽車流線型的研究 Ю. А. 陀耳馬托夫斯基 (2)
K. B. 捷凡恩格
2. 汽車車架模型在靜負荷下的試驗研究 ... С. И. 科特駱爾 (33)
- 附录：載重汽車車架的扭轉計算 Д. В. 盖利佛加特
B. A. 奧施諾柯夫 (69)

現代輕便汽車流線型的研究

工程师 I.O.A. 陀耳馬托夫斯基

工程师 K.B. 捷凡恩格

本文敘述了空气动力学的研究方法，試驗的模型和汽車，并从改進現代汽車外
形（減小正面阻力及提高空氣動力穩定性）的觀點出發，分析了風洞試驗的結果。

引　　言

車身的流線型外形可以減小汽車行駛時的空氣阻力，提高汽車的動力性及經濟性，改善乘客室的通風及發動機的冷卻，減少汽車行駛時的噪音，便於車身的清洗。車身的流線型外形還能適應現代車身的艺术及工藝（冷沖壓）的要求。

但是汽車流線型的某些問題目前仍未得到解決。尚未確立最簡單而
且最合理的研究流線型的方法；對於現有汽車和在設計中的汽車尚缺乏
足夠精確的有關空氣阻力系數的數據，而這些數據是為汽車牽引計算所
必需的；至於與車廂通風、發動機冷卻以及側向風對汽車穩定性的影响
有關的流線型的若干問題也缺少足夠的研究。在汽車的外觀裝飾上還沒有
經常注意那些妨礙車身表面平滑的細小零件（排水槽等等）的作用。

本文就在於研究上述這些問題。所有的研究和試驗是由汽車科學研
究院的車身實驗室在莫斯科茹可夫斯基航空學院空氣動力實驗室的參
與下進行的。

研究的方法

模型的比例、氣流速度及雷諾數（雷諾數）　為了從空氣動力學的

观点来选择最好的未来汽车的外形，而在空气动力学的研究工作上付出大量的费用，这些研究工作的第一阶段不采用实体汽车，而是用一些小的模型。但是为了使研究结果符合于空气阻力的实际数值，必须用道路试验来校正风洞试验的结果，也就是说，将汽车进行道路试验，再将它的模型进行风洞试验，然后比较两者所得结果，以用来修正另外一些模型的试验结果。

为了保证模型（按比例的）在风洞里试验的气流与汽车行驶时的气流相似，汽车与其模型应具有相同的临界数：

$$R_c = \frac{v l}{\nu} = \frac{v / \rho}{\mu} \quad (1)$$

式中：
— 气流速度，公尺/秒；
— 模型或汽车的长度，公尺；
— 运动黏度系数；
 ρ — 0.125① — 空气密度；
 μ — 速压头范围系数（即空气的绝对黏度系数——译者注）。

因此必须与模型尺寸（比例）成反比地增加气流的速度，这一点在实际上做起来是有困难的。某些研究者证明，只有 10~15% 的空气阻力来自汽车车身表面与空气的摩擦，因之流线型系数 X 与临界数的关系较小。

为了查明临界数对于汽车空气动力特性的影响以及评价借所求得的系数从模型换算到真实汽车的正确性，一部份的试验（风洞试验）是在气流速度变化的情况下进行的。在风洞中气流达到了这样的速度范围，即虽然临界数改变而空气动力系数实际上保持不变。

有根据来假定：在道路条件下空气动力系数几乎会保持在试验时所求得之值。在进行上述检验以后，于气流速度为 28~32 公尺/秒的情况下，曾在风洞内进行过试验。

比较由不同方法（检验性的道路试验及风洞试验）所求得的胜利牌格斯-M20 汽车的正面阻力系数（表 1）后表明，风洞试验所得到的数据接近于实际情况，但是通常系数数值较小。另一些苏联汽车的试验也

① 试验基本上是在夏天进行的。

得到相似的结果。

胜利牌格斯-M20汽车的流线型系数K 表 I

研究对象	求得系数的方法	流线型系数K	
		绝对值	%
比例为1:10的模型	用磅秤在风洞中测量	0.0197	84
	同以上测量方法并乘以修正系数+1.2	0.0236	100
汽 车	用在斜坡上自由行驶的方法试验	0.023~0.025	93~106
	用自由滚动的方法研究	0.024	102

在采用风洞试验方法时考虑模型与真实汽车的相似程度以及其与真实汽车的比例(1:10)(见后)，为了获得实际的系数，必须在风洞试验所求得的系数上乘以1.2。

模型在风洞内的安装 试验是在具有二个八边形横截面工作部份的开式风洞内进行的。

模型可以按照下列方法之一来安装：

- a) 模型自由地悬挂在风洞内；
- b) 模型安装在一块固定的平面上(平面上没有孔或者是具有许多吸气孔)；
- c) 两个模型对称地悬挂；
- d) 在模型下面安装一条与气流同样速度运动的連續带。

自由地悬挂在风洞内而不计及道路影响的模型，与实际情况相比較，将得到较小的空气阻力系数。安装在代替道路的固定平面上的模型，与实际情况相比较，会得到稍大的空气阻力系数。在平面上具有吸气孔(达2000个)时，通过这些孔可以保证将附面层内的空气吸出 $\frac{1}{3}$

左右，因而使系数接近于实际值。两个模型对称地安装的方法应用最广，但是必须制造二个相同的模型，最后一种方法(装有运动着的連續

帶)能得到与实际情况最符合的空气阻力系数的數值，但是这需要复杂的装备。此外，要保持連續帶以高速而平静均匀地运动是有困难的。

为了获得与真实汽車的行駛情况最相似的风洞試驗条件，模型應該裝置在运动的連續帶上。但是在比較若干模型时，允許将模型安装在固定的平面上。这个方法曾經被采用过，而且遮板的影响和模型的简化(与真实汽車相比較)也已在上述修正系数中予以考虑。

空气的动力是借刚性的双重复合磅秤(图1及2)来测定的。模型系利用支架固定在磅秤的悬臂上，支架可以用普通方法(利用迎风角度机构)来改变气流的噴射角度。在整理試驗材料时，計入了磅秤和支架被气流噴射部份所受的正面阻力及側向力的影响。

在确定空气動力及力矩的同时，还进行了速压头的測量工作(根据瞬时讀數的方法)。为了測量这一讀數而采用的流量計安装在磅秤悬臂軸線的前面1.1公尺处，以免模型影响速压头的讀數。为計算空气動力系数所需的风洞工作截面內的速压头之值，是由流量計的讀數乘以速压

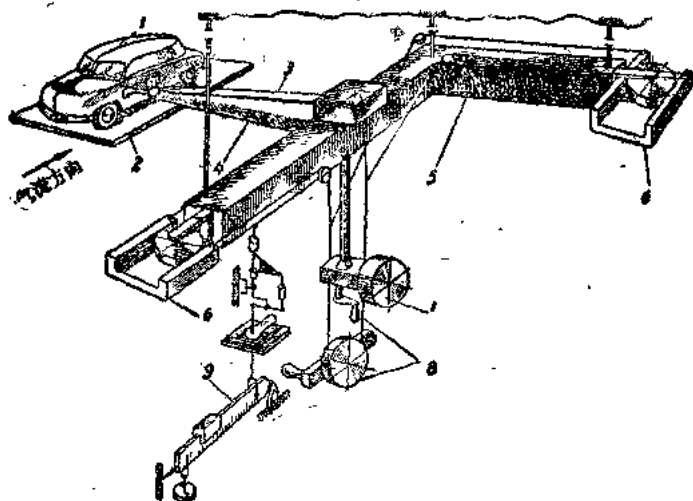


图1 模型在剛性的双重复合磅秤上的安装簡圖：
1-模型；2-遮板；3-模型的迴轉拉杆；4-懸臂；5-架子；6-導軌；
7-模型的迴轉機構；8-導軌轉彎的拉杆和機械(示意图)；9-磅秤

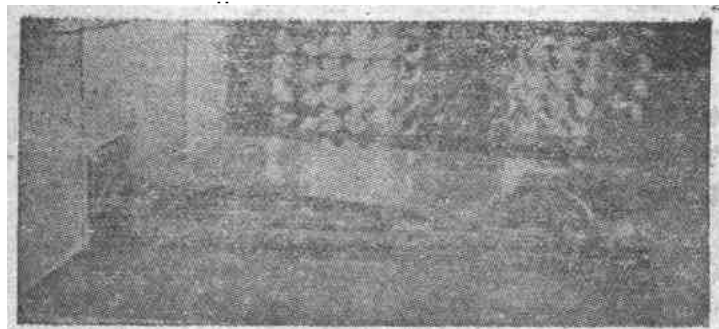


图 2 在磅秤支架及遮板上的汽车模型

头阻圆系数 $\mu = \frac{q_{cp}}{q_K} = 1.059$ 来决定的，式中 $q_{cp} = 0.0625 v^3$ 公斤·公尺

——速压头， q_K ——根据流量計讀数的速压头。

为了查明在确定正面阻力系数和侧向力系数时，由于模型与带有支架的磅秤上的气流喷射部份相互影响而引起的误差，曾将两个模型成 $\beta = 0$ 及 $\beta = 45^\circ$ 的两种迎风角度（ β ——模型軸綫与气流方向間的夹角）装在带细綫挂鉤的简化磅秤上进行过检验性試驗。

除了在遮板上試驗外，为了比較結果，还在同一支架式磅秤上将二个对称的模型用对称法（图 3）安装，进行了检验性試驗。

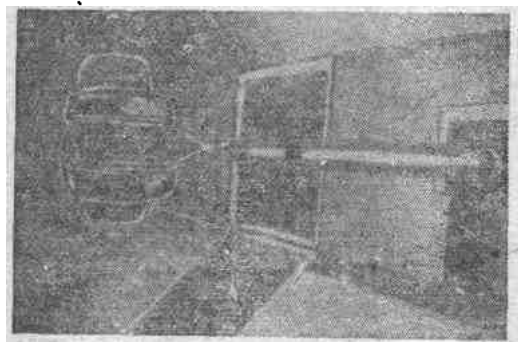


图3 在風洞中模型以对称法安装的照片

关于試驗結果的精确度可以根据在二种不同型式的磅秤上得到的系

數值來判断，同时也可就裝有遮板的模型的試驗結果和用對稱法安裝的模型的檢查性試驗結果的比較來判断。在得到的結果中也許會發現差別極小，這可能是由於二個同時試驗的模型遮蔽了相當大一部份的氣流有效截面而引起的。

用風洞試驗的方法確定空氣阻力 利用磅秤在風洞中試驗的情況下來測定正面阻力和側向阻力。沿風洞縱軸線的正面阻力系數 c_x 及與風洞軸線垂直的側向阻力系數 c_z 由下列方程式來確定：

$$c_x = \frac{Q}{qF} - \frac{dp}{dx} + \frac{A}{qF}, \quad (2)$$

$$c_z = \frac{Z}{qF} \quad (3)$$

式中： Q ——正面阻力，公斤；

Z ——側向力，公斤；

F ——模型的正面面積，公尺²；

A ——模型的體積，公尺³；

$q = 0.0325v^2$ 公斤·公尺——速壓頭；

$\frac{dp}{dx} = 0.084$ ——靜壓力的軸向傾斜度。

氣流速度保持為常數（28公尺/秒），而噴射角則在±75°的範圍內變化，每次改變為5~10°。

因此，式（2）可寫成：

$$c_x = \frac{Q - 0.084A}{0.0325v^2 F} \quad (4)$$

而式（3）為：

$$c_z = \frac{Z}{0.0325v^2 F} \quad (5)$$

根據方程式

$$c_{x1} = \frac{c_z \cdot \cos(\alpha + \beta)}{\sin \alpha} \quad (6)$$

及

$$c_{x_1} = \frac{c_x \sin(\alpha + \beta)}{\sin \alpha} \quad (7)$$

将 c_x 及 c_z 值换算到模型纵轴线及垂直轴线的系数值 C_{x_1} 及 C_{z_1} (图 4)。

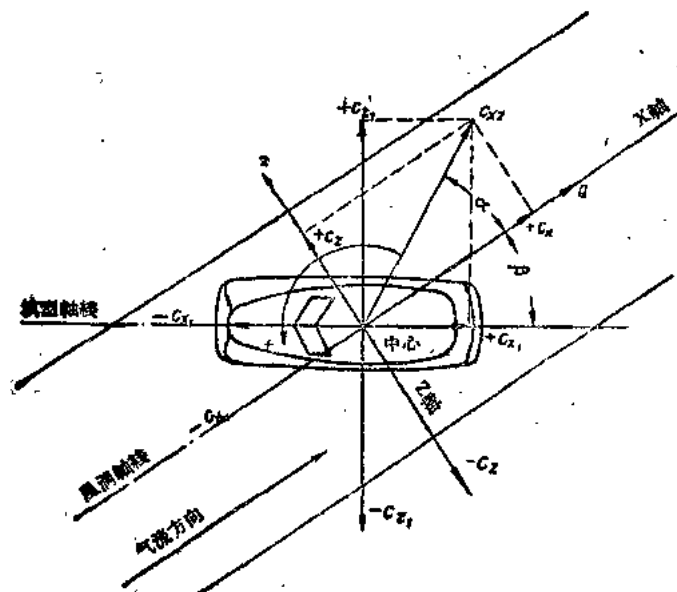


图 4 角度及系数的标明图

将比例为 1:10 的模型的正面阻力系数值换算到相应的真车时应采用方程式：

$$K = 1.2 \cdot \rho C_{x_1} = 0.075 C_{x_1} \quad (8)$$

于道路条件下确定空气阻力 在所有已知的于道路条件下研究汽车空气动力学的方法中（在斜面上自由行驶、自由滚动或“滑行”牵引等等），最简单可行的是滑行的研究法。

当汽车沿平坦笔直的道路而且在无风的情况下行驶时，于高速下将发动机熄火；让汽车自由地滑行直到完全停止。在滑行过程中，根据校正过的车速表以及通过按道路上标志所定出的相等间隔，借助于停表来测定汽车的速度（或是利用“第五车轮”）。

行驶阻力

$$P_f = b \frac{G}{g} \quad (9)$$

此处

$$b = \frac{b'}{3.6} \quad (10)$$

式中: b ——加速度, 公尺/秒²;

G ——汽车的总重, 公斤;

g ——重力加速度, 公斤/秒²;

$b' = \frac{du}{dt}$ ——滑行曲綫切綫角的正切。

从所得到的不同路段內的行驶阻力的数值中, 减去在速度从10到0公里/小时(此时的空气阻力极小)的最后滑行路段的行驶(滚动)阻力。

試驗表明, 在速度从120~100降到70~80公里/小时的开始滑行部份的計算中, 能得到最精确的結果, 并且大多数汽車在这一路段內的滚动阻力之值較最后一段滑行路段內所求得之值大25%。

K 值可按下式計算:

$$K = \frac{P_w}{F_0^2} \quad (11)$$

式中: P_w ——空气阻力。

試驗是在明斯克公路上进行的, 行駛路程为42公里, 順風和逆風各一次。

流线圖的攝制 流線圖的攝制是将模型在风洞中和真实汽車在道路条件下用所謂“絲帶”法来进行的。研究的內容如下: 在模型(汽車)的規定点上粘以絲带(小带), 然后将模型上气流吹散的情形攝成照片, 或者是将在行驶中的汽車上的絲带飄动的情形描繪出来。

第一种情形是經過风洞工作部份側壁上的窗口用照相机拍下来的。拍攝照片时, 应該有相当长的曝光时间, 使得由于渦流而引起摆动的絲

帶，在底片上留下模糊的跡印，而順氣流方向平穩不動的絲帶，則應在底片上留下明顯的跡印。照片在遮板垂直放置或水平放置的情況下攝制，這樣就可以得到更為完整的模型流線型的形狀。模型或裝在中央儀器上與噴射氣流形成一不變的角度（垂直的遮板）或裝在一個特殊的迴轉木塊上（水平的遮板）。後面的一種裝置方法，可以獲得氣流方向與模型軌線間各種不同夾角的流線圖，以便積累資料以供研究側向風對流線型的影響之用。

第二種情況（道路試驗）是在汽車車身上粘上輕質絲帶，這些絲帶在汽車行駛時即形成流線圖（圖5）。但是却不能用照相方法來攝制流線圖，因為在被試驗的汽車上安裝照相機是有困難的，並且在照片上不能得到汽車的全貌，所以採用了下述方法：由一個坐在與被試驗汽車並行的汽車中的觀察者，將流線圖畫在事先準備好的汽車表面絲帶位置分布圖上。行駛速度為80公里/小時。按照公路的行駛條件不能再提高速度。

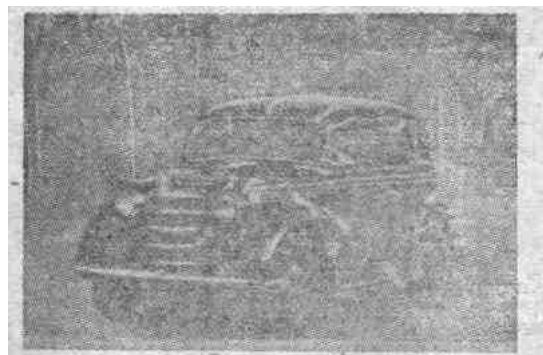


圖5 具有絲帶的“莫斯科人”汽車在公路上行駛的情形

壓力圖的確定 將敷設在模型內腔的外徑為1.5公厘的黃銅管接到各壓力測量點，黃銅管與模型表面垂直並與之齊平。這些管子聚成一束通過模型底部的孔以及與模型剛性相連的圓管整流罩向外導出（圖6）。

安裝時，在風洞的工作部份內借管式整流罩將模型固定于遮板上，整流罩系牢固地插在遮板上專門的孔內。在遮板的另一面，與多管壓力表相連的橡皮管就連接在通氣管的末端上。



图 5 为测绘压力图的装有小管的模型

模型位置相对于气流的改变是利用管式整流罩繞自身軸線旋轉的方法来完成的。夹紧机构可以将模型刚性地固定在所需的任意喷射角位置上。

在試驗的結果中求得有在喷射角为 -15° , -7° , 0° , 7° 与 15° 时各被研究点的压力系数之值。測量之所以需要在絕對值相同而符号相反的喷射角情况下进行, 是因为所有模型都是对称的, 而只在模型的一边装有小管。

压力系数 \bar{p} 可按下式計算:

$$\bar{p} = -\frac{p_m - p_{cm}}{\rho} \quad (12)$$

式中: p_m —— 模型上已知点的压力;

p_{cm} —— 在稳定气流中的静压力。

用多管压力表测出 $p_m - p_{cm}$ 之差。

在压力图中作如下規定: a) 压力系数 \bar{p} 的数值在所研究之点上沿垂直线按比例繪出; b) 在侧視图与頂視图上的 \bar{p} 值, 应与图平面相重合; c) \bar{p} 的正值繪在模型图的“内部”, \bar{p} 负值則繪在模型图的外面; d) 在所繪压力圖的端点用外廓線連接起来, 該外廓線区别开压力和真空的范围, 使压力图更易于一目了然; e) 由于技术上的緣故而不能研究足够數量压力点的部份, 則用虚線來給出外廓線。

空气动力稳定性研究 空气动力稳定性研究是用风洞試驗来进

行的：在不变的速度下，以不同的喷射角来确定模型对于垂直轴线的空气动力力矩（扭轉力矩）；在一定的喷射角度下，以不同的气流速度来确定其对于横向水平轴线的空气动力力矩（縱向稳定力矩）。

空气动力力矩可利用中心仪来确定，被試驗的模型就固定在仪器的軸上（图 7）。

扭轉力矩 M_y 是在不变的气流速度及变动

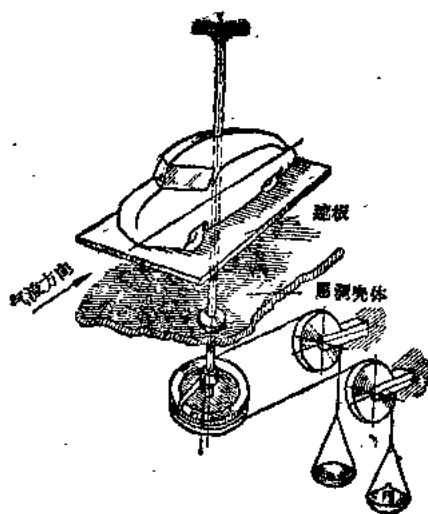


图 7 在中心仪下确定扭轉力矩的示意图

的噴射角度下来确定的，噴射角系在 $0\sim75^\circ$ 之間变动。在中心仪的盘中加载荷就可以使模型平衡。在一定的噴射角度下的空气动力力矩的大小，以盘中载荷与分度圈半径的乘积来确定。縱向稳定力矩 M_z 可用相似的方法来測定（图8）；在各种气流速度下将迎风角固定在零点，利用在盘中相应地加载荷的方法来使模型保持平衡，气流速度在 11 到 32 公尺/秒之間变化。

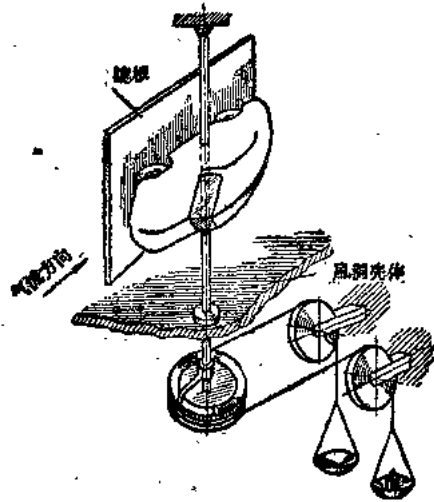


图 8 在中心仪上确定縱向穩定力矩的示意图

扭轉力矩系数 m_y 及縱向稳定性矩系数 m_z 可根据下式来确定：

$$m_y = \frac{M_y}{qFl} \quad (13)$$

及

$$m_z = \frac{M_z}{qFl} \quad (14)$$

在风洞中試驗模型所求得的 m_y 值，如用于真实汽車时，也可按式 (8) 来換算。

苏联輕便汽車的流線型

对吉斯-110、格斯-M20 汽車及“星牌-3”竞赛車的模型进行过研究，同时对格斯-M20 及“莫斯科人”汽車也进行过研究。

对吉斯-110 及格斯-M20 的模型进行了补充的檢驗性的风洞試驗。空气阻力的研究結果示于表 2。

苏联汽車的空气阻力系数

表 2

汽車型号	F 公尺 ²	基本的風洞試驗		檢驗性的風洞試驗		道路試驗 <i>K</i>
		C _x	K	C _x	K	
“莫斯科人”…	1.62	—	—	—	—	0.036
格斯-M20…	2.16	0.31	0.0232	0.29	0.0217	0.023~0.025
吉斯-110…	2.6	0.35	0.0262	0.31	0.0282	—
星牌-3…	1.1	0.16 ~0.18	0.012 ~0.0185	—	—	0.014①

① 按最大速度計算。

有时計算上述汽車的指标 *K* 会比所述研究工作中求得的 *K* 大 30% 左右。这种增大的指标已由繪制檢驗性行駛图表得到证实，此时傳動系的效率取为 0.9~0.93，而滚动阻力則按一般的方程式來計算，并且輪胎的滚动阻力系数 *f* 可看作是常数。这样，在最大的測量速度时，空气

阻力所消耗的功率保持为一定，并且也可以利用一般的方程式来计算 K 。但是最新的研究表明：滚动阻力系数并不是常数，而是随轮胎压力的降低及车速的升高而增大。

利用上述这些研究的数据，可以为苏联汽车作出新的、更准确的行驶图表，并可深信所得到的 K 值接近于计算以及实际的数值。

图 8 给出吉斯-110 及格斯-M20 型汽车的空气压力图，表 3 列出汽车表面上最有代表性的各点的压力值。

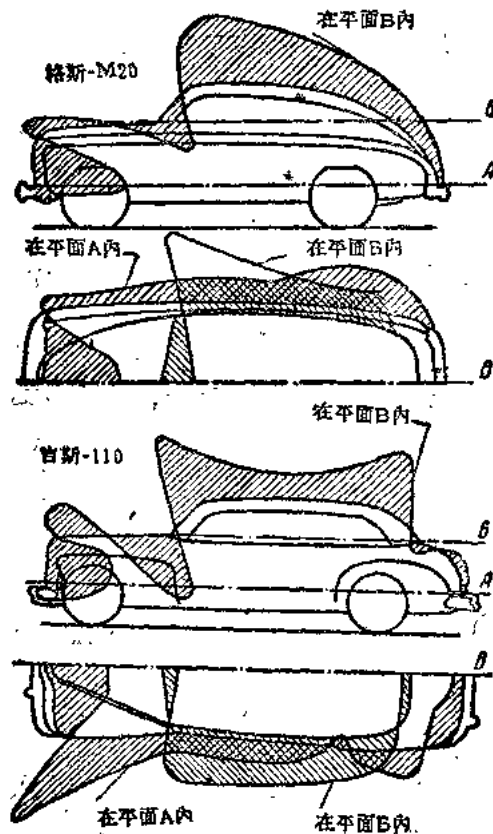


图 8 格斯-M20 及吉斯-110型汽车的压力图（模型轮廓线外面的十步
距离部分表示真空地带，轮廓线范围以内的为压力地带）